

# Bioreaktorska tehnika



# Fermentacije in biotransformacije

Biotehnološki procesi (fermentacije):

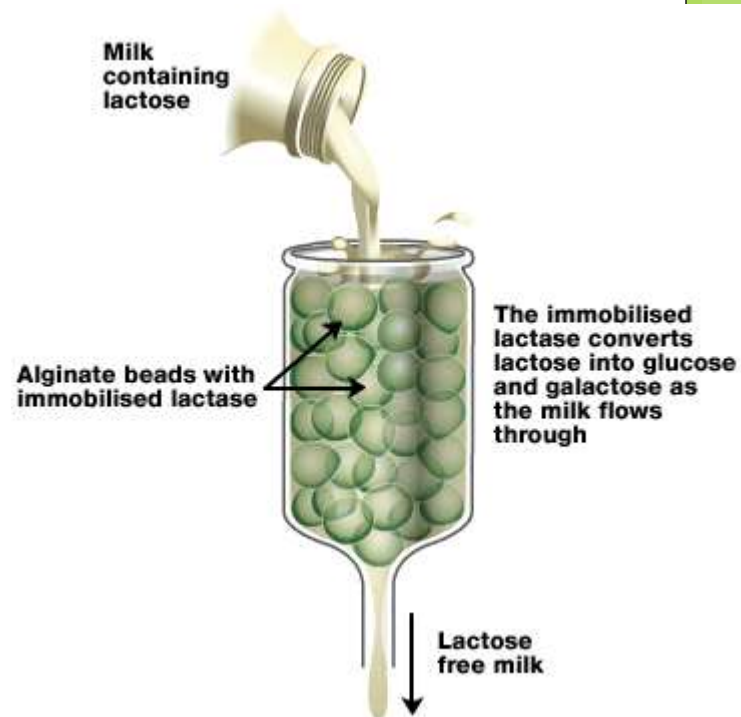
- številne katalitske stopnje med substratom in produkтом

Biotransformacije

- ena ali nekaj zaporednih encimskih reakcij
- substrati običajno kompleksne organske molekule
- substrati in produkti imajo podobno kemijsko strukturo

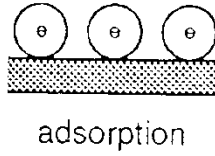
# Imobilizacija encimov in celic

- možnost uporabe biokatalizatorjev v kontinuirnih procesih, v strnjениh ali fluidiziranih slojih
- boljša stabilnost
- način oblikovanja produkta (npr. immobilizirane proteaze v detergentih)

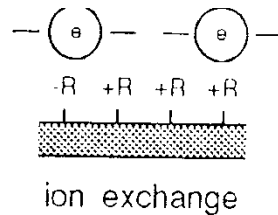


# Tehnike imobilizacije encimov

- fizikalne interakcije:
  - adsorpcija
  - ionska izmenjava
  - ujetje v gele
  - mikro-enkapsulacija

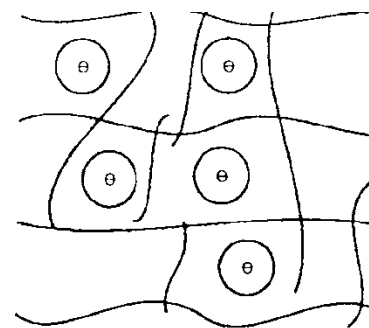


adsorption

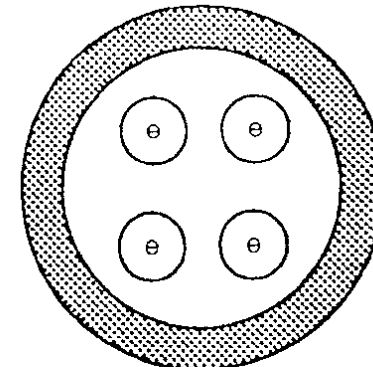


ion exchange

- vodikove vezi,
- van der Waalsove sile,
- hidrofobne interakcije,
- ionske interakcije



gel - entrapment  
or occlusion



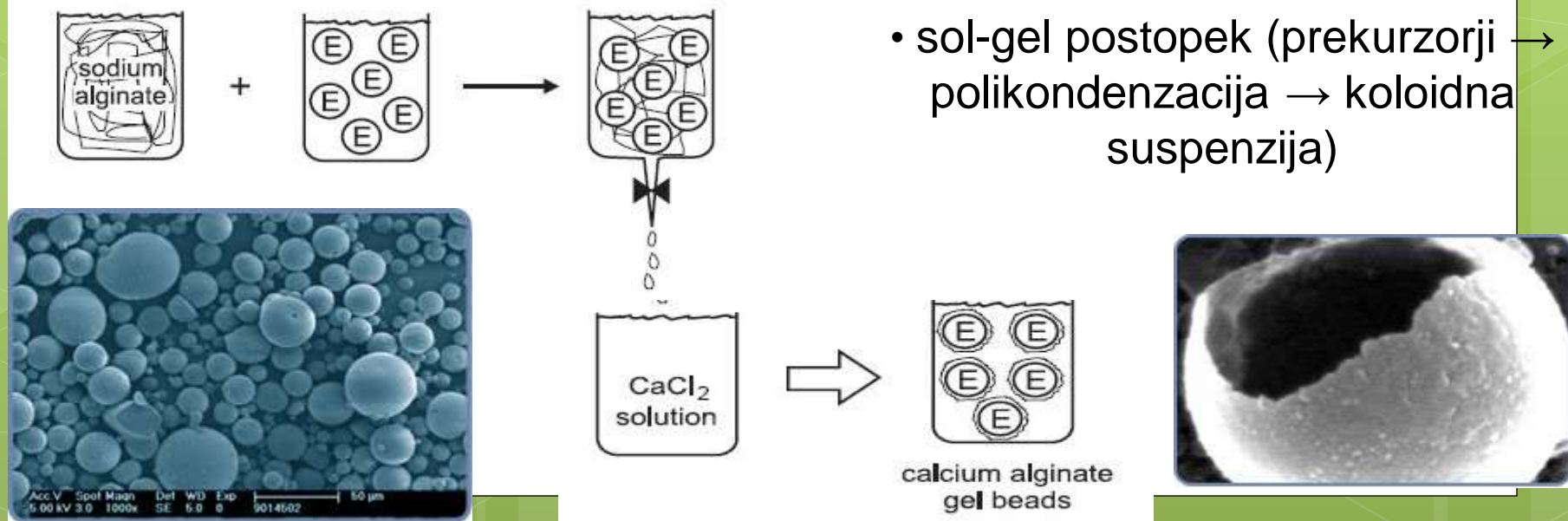
micro-encapsulating

# Ujetje v gele in mikro-enkapsulacija

molekula encima ujeta v polimerno matrico;  
stabilizacija gelov: premreženje z bi- ali polifunkcionalnimi  
spojinami (glutaraldehid)

## Priprava gelov:

temperaturno kontroliran fazni prehod polimernih raztopin  
(ohlajanje), reverzibilen proces – agar, agarosa, želatina

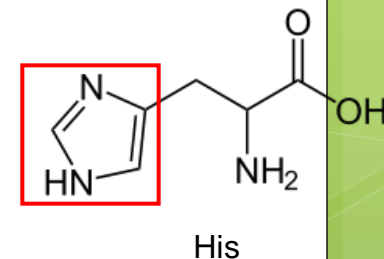
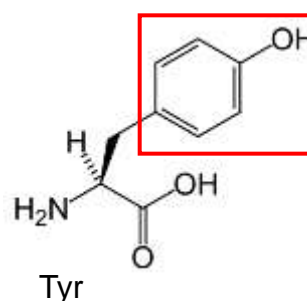
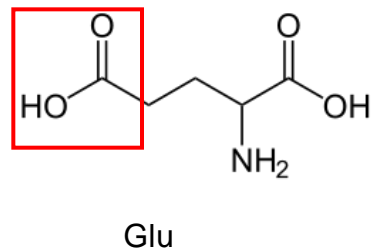
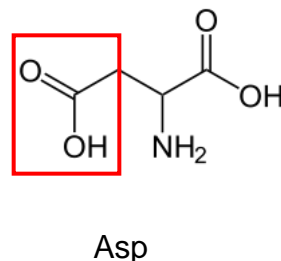
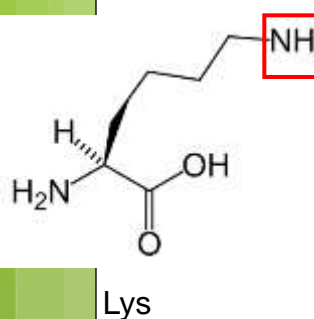
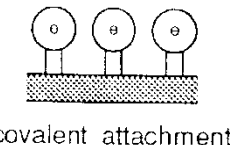


# Tehnike imobilizacije encimov

- kemijske interakcije:

- kovalentno pripetje

funkcionalne skupine AK pripete na površino kemijsko modificiranega nosilca



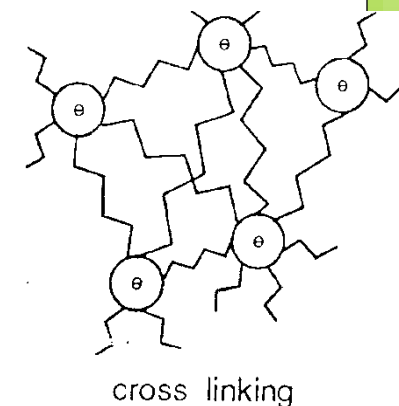
Reagenti za aktivacijo nosilcev:

- cianogen bromid (reagira z hidroksilnimi skupinami),
  - karbodiimidji (aktivirajo karboksilne skupine),
- glutaraldehid (zamreževalno sredstvo za amino skupine),
  - dialdehydi, 3-aminopropil silan itd.

# Imobilizacija – kemičke interakcije

## • premreženje

- metoda primerna za različne encime
- CLEA (cross-linked enzyme aggregates)
- obarjanje (očiščenje!) + zamreženje
- reaktanti: diamini, glutaraldehid, polielektroliti



free enzyme



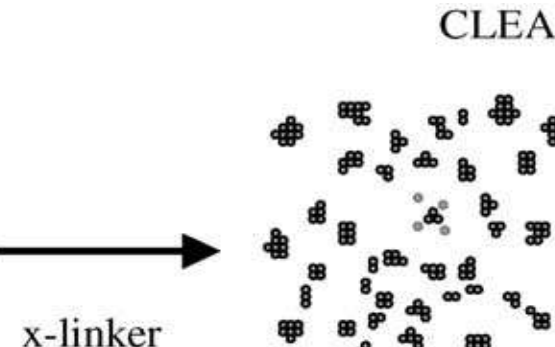
precipitant



aggregate

0.1 – 1  $\mu\text{m}$

5 nm



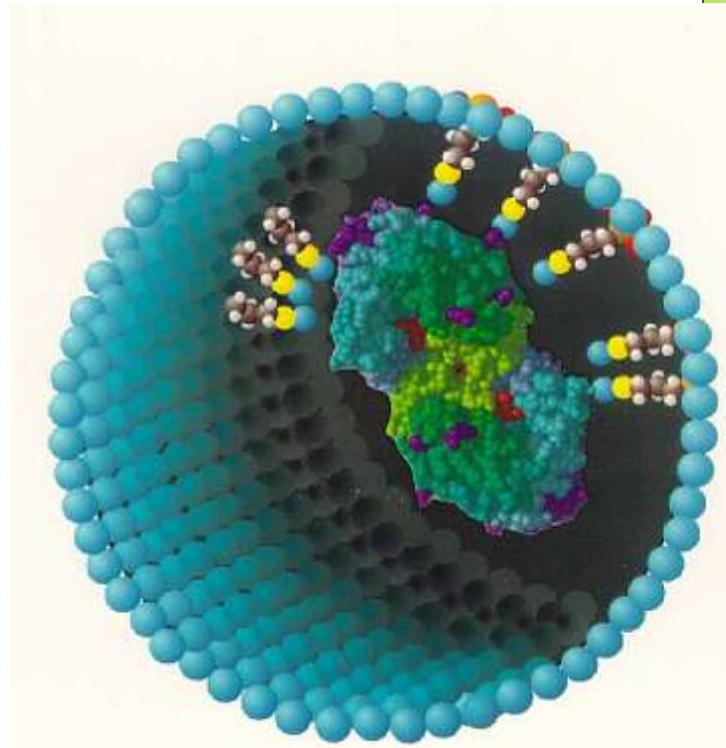
x-linker

CLEA

1 – 100  $\mu\text{m}$

# Nosilci

- naravni materiali: celuloza, škrob, agar, agaroza
- sintetični materiali: polistiren, poliakrilamid, poliakrilati (PMMA), poliamidi, polikarbonat (PC), polietilen-tereftalat (PET), politetrafluoretilen (PTFE), polidimetil-silosan (PDMS)...
- anorganski materiali (steklo, kovinski oksidi, kovine, oglje, keramika)



nanoporozen kremen,  
na stene 30-nm pore je preko  
kovalentnega veznega člena  
vezan encim

# Izbor bioreaktorjev

- Bioreaktorji za izvedbo biotransformacij
  - encimski bioreaktorji
  - bioreaktorji za pretvorbe s ...
- Bioreaktorji za izvedbo fermentacije
  - aerobni procesi
  - anaerobni procesi
  - fotosintetski procesi
  - submerzno gojenje
  - gojenje na trdnih gojiščih
  - gojenje živalskih in človeških celic
  - čistilne naprave
  - bioplinarne...



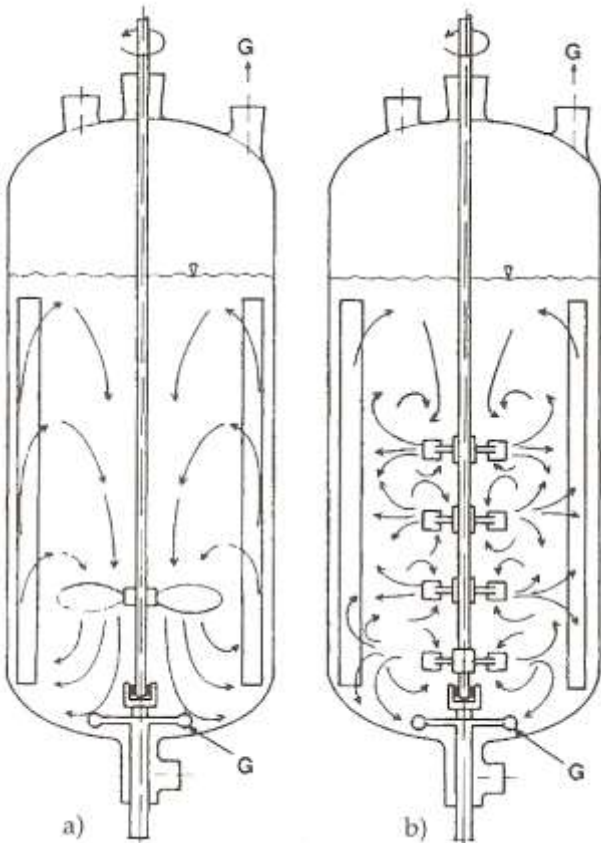
# Bioreaktorska tehnika

Komercialno dostopni bioreaktorji:

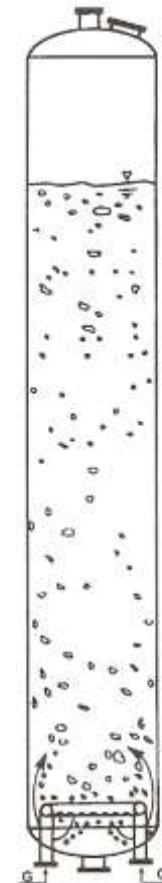
- za gojenje tkivnih kultur
  - za enkratno uporabo (iz različnih trgov materialov)
  - specifično mešanje
  - od 50 do 2000 L
  
- gojenje mikroorganizmov
  - do 30.000 L,
  - celotne serije za prenos



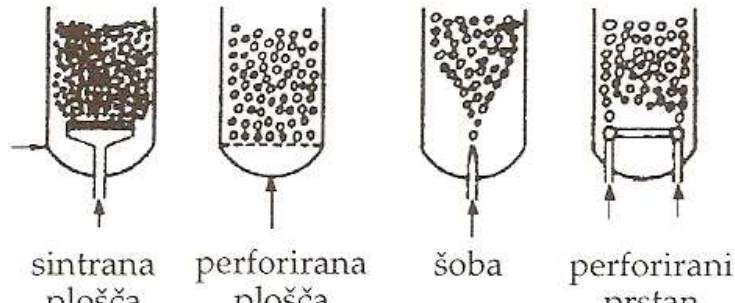
# Bioreaktorji za submerzno gojenje



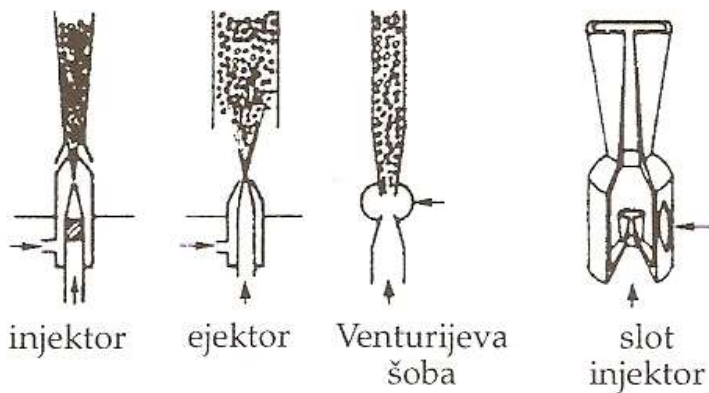
mešalni bioreaktorji



kolona z mehurčki

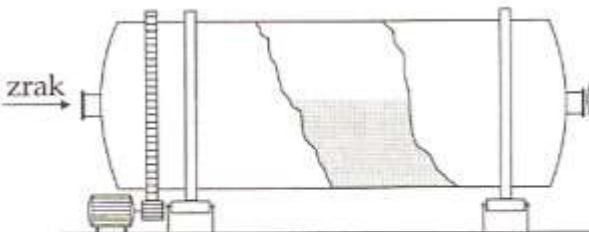


Dinamični aeratorji

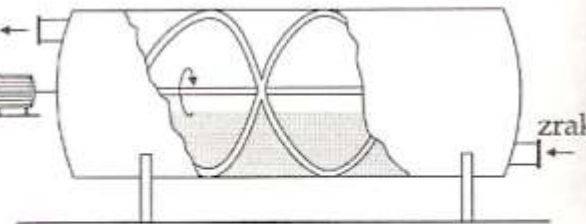


distributorji za pline

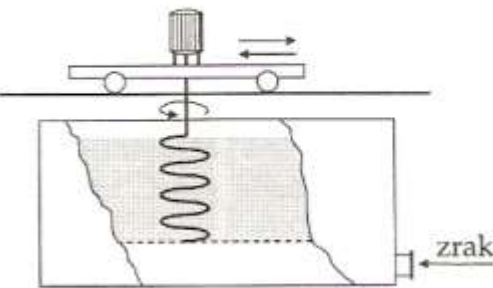
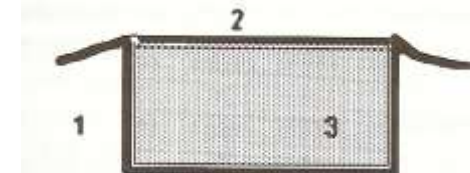
# Bioreaktorji s trdnim gojiščem



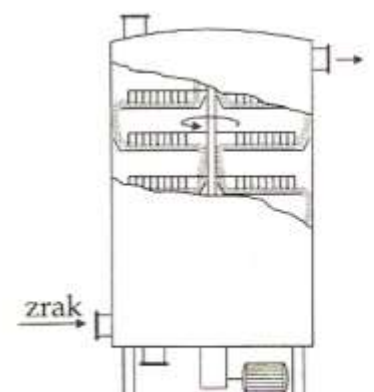
a) rotirajoči boben



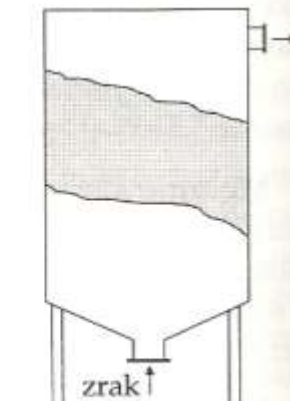
b) horizontalno mešalo



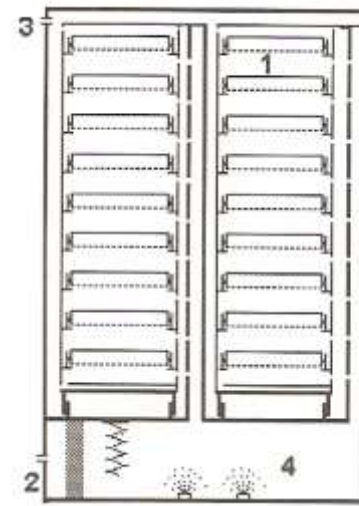
c) vertikalno mešalo



d) mobilni sloj



e) fluidizirani sloj



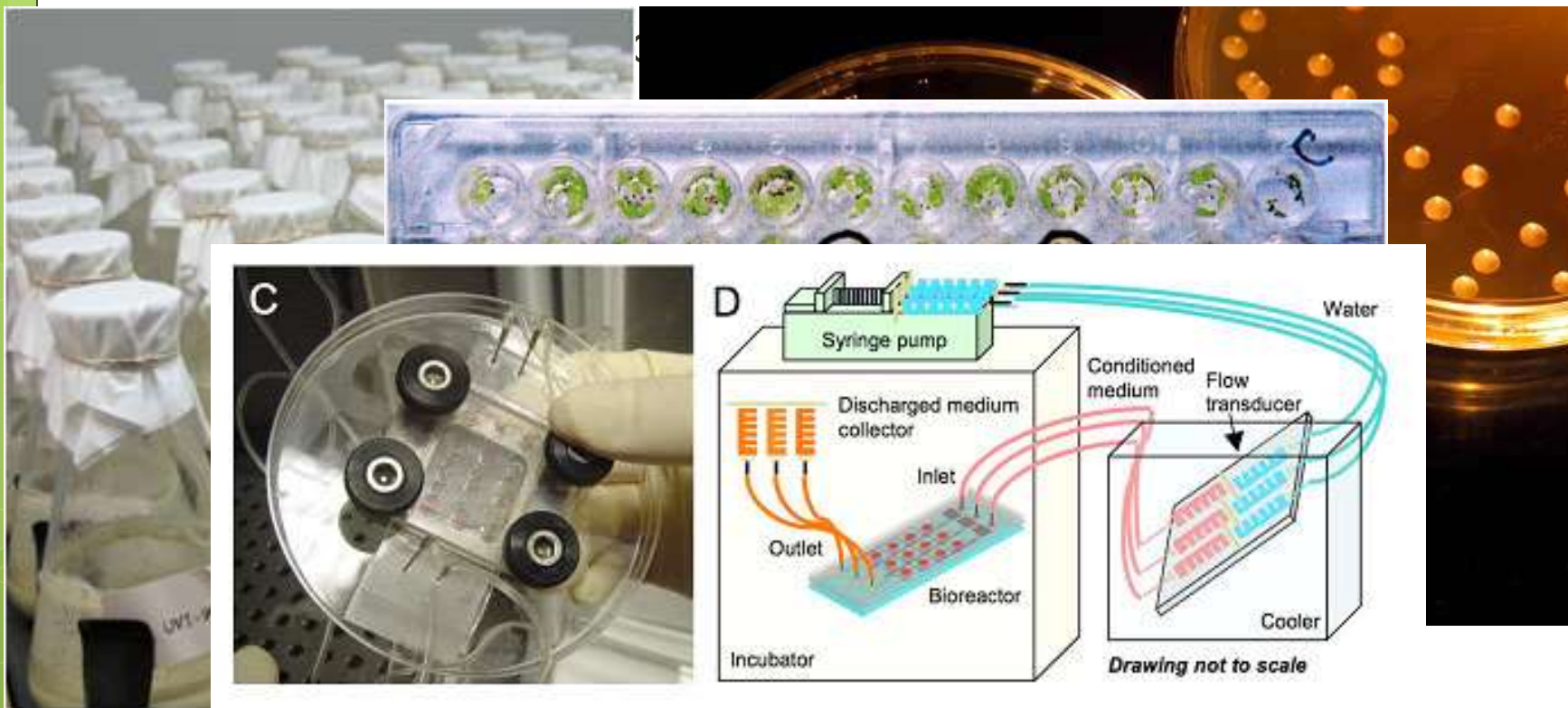
# Merilna tehnika za spremljanje bioprocesov

- komercialno dostopni visoko selektivni merilni sistemi
  - ekstracelularnih komponent
  - intracelularnih komponent
  - hlapnih organskih spojin
  - biomasa:
    - optična gostota
    - (di)električne lastnosti
    - filtracijske karakteristike
    - pretočna citometrija
- problemi pri uporabi razvitetih *in situ* senzorskih sistemov v bioprocесништву
  - zahteve po aseptičnih pogojih,
  - veliko število analitov, lezenje,
  - pogosto majhen fiziološki pomen meritev

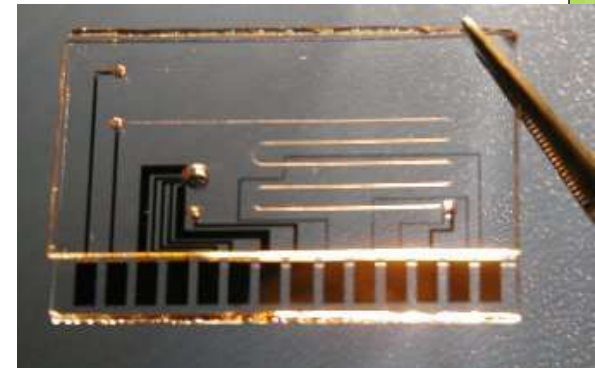


# Razvoj bioreaktorske tehnike

- laboratorijsko merilo:
  - erlenmajerice in petrijevke od konca 19. stoletja

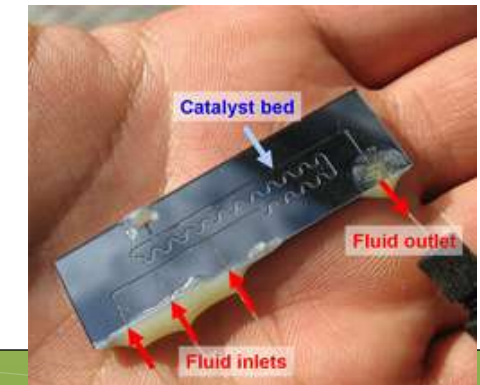


# Miniaturizacija bioreaktorske tehnike



Lab-on-Chip iz stekla in polimera za pomnoževanje in analizo DNA

- Biotransformacije v mikroreaktorjih
  - homogena in heterogena biokataliza



# Miniaturizacija bioreaktorske tehnike

- močan trend bioprosesne industrije
- inovativne poti za prihranek časa, dela in materiala
- zmanjševanje naprav v zgodnjih fazah razvoja procesa
  - selekcija organizmov
  - optimizacija gojišč
  - definiranje pogojev procesa
- tradicionalna uporaba erlenmajev
  - zelo slaba ponovljivost
  - neprimerljivost z mešalnimi reaktorji
  - slabo mešanje in prenos plinov v kapljev



# Miniaturizacija bioreaktorske tehnike

Mikrotitrské plošče – iz kombinatorne kemije

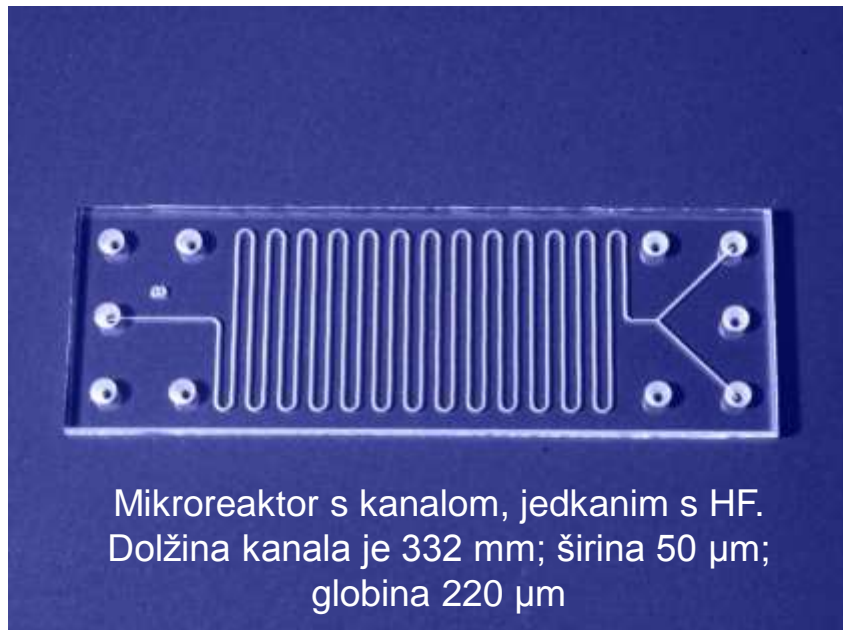
- zelo hitra izvedba bistveno večjega števila vzporednih poskusov ob manjši porabi kemikalij
- avtomatizirano neodvisno spremljanje in kontrola posameznih miniaturiziranih reaktorjev (vdolbinic)
  - optične meritve biomase
  - pH
  - $pO_2$
  - fluorescanca



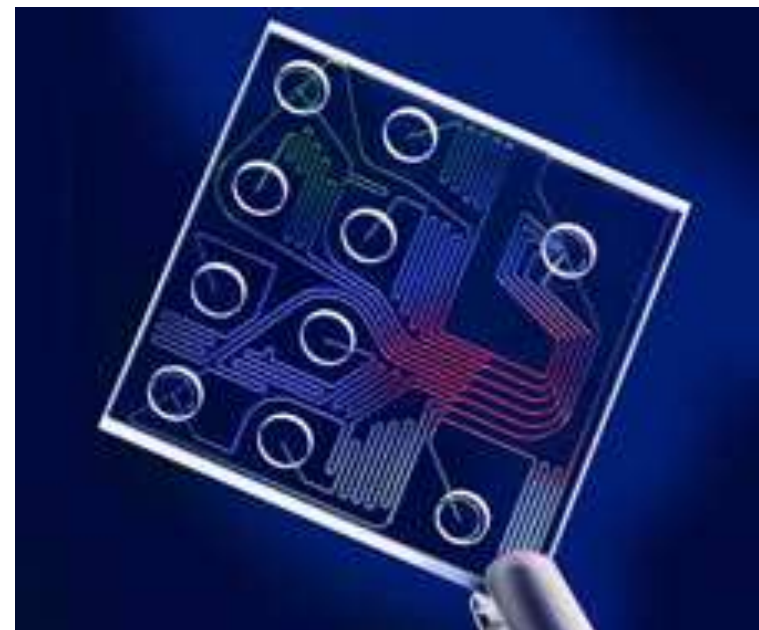
# Miniaturizacija bioreaktorske tehnike

## Mikroreaktorska tehnologija

Mikroreaktor: miniaturiziran reakcijski sistem, izdelan z metodami mikrotehnologije, ki imajo vsaj eno od dimenzij manjšo od milimetra, običajno pa so njihove prostornine v sub-mililitrskem območju



Mikroreaktor s kanalom, jedkanim s HF.  
Dolžina kanala je 332 mm; širina 50 µm;  
globina 220 µm

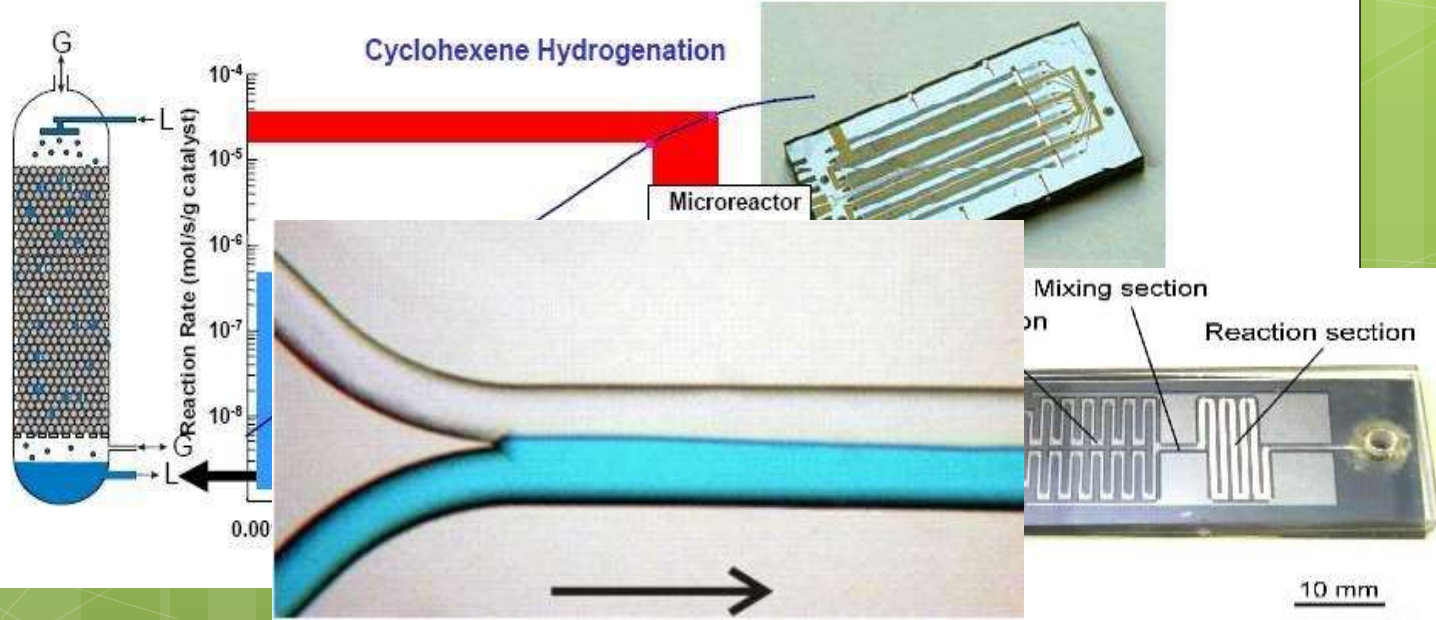


*Lab-on-chip* sistem: Agilent Technologies

# Miniaturizacija bioreaktorske tehnike

Prednosti:

- majhna poraba kemikalij
- zelo učinkovit prenos toplote in snovi kot posledica visokega razmerja A/V
- običajno laminarni tokovni režimi v pretočnih sistemih, ki omogočajo lažji nadzor procesnih pogojev
- možna integracija
- nov koncept povečanja klasične tehnike



# Poenostavljena primerjava “scale-up” z “numbering-up” koceptom povečanja kapacitete



Laboratorijski



Pilotski obrat

Scale-up

Kompleksna  
in draga  
povečava  
obrata



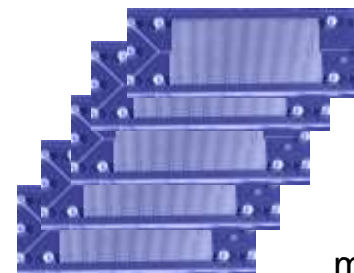
Visoko-količinska proizvodnja



MIKROREAKTOR

Numbering-up

Enostavno in poceni povečevanje enot



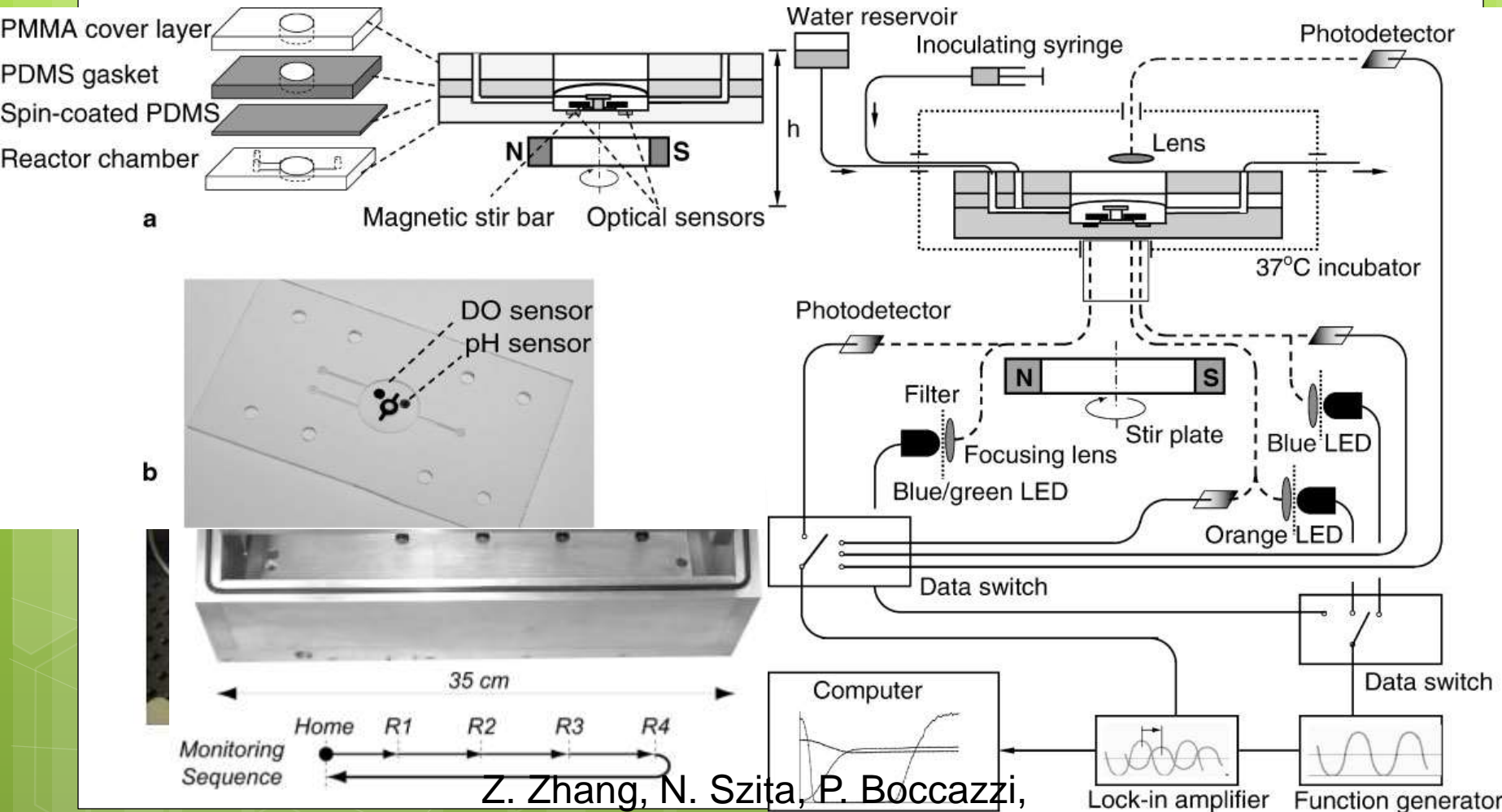
Skupina  
mikroreaktorjev



kapaciteta 5 vzporedno povezanih mikroreaktorjev:  
300.000 ton /leto

# Miniatuirizacija bioreaktorske tehnike

## Mikrobioreaktorji za gojenje celic

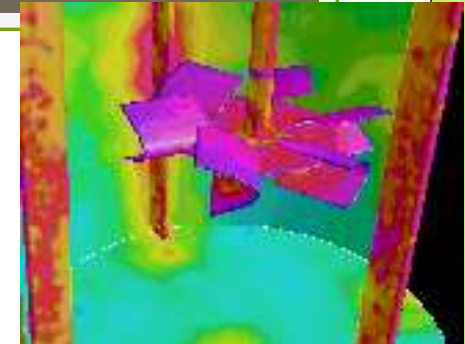


# Merilna tehnika za spremljanje bioprocesov

- komercialno dostopni visoko selektivni merilni sistemi
  - ekstracelularnih komponent
  - intracelularnih komponent
  - hlapnih organskih spojin
  - biomasa:
    - optična gostota
    - (di)električne lastnosti
    - filtracijske karakteristike
    - pretočna citometrija
- problemi pri uporabi razvitetih *in situ* senzorskih sistemov v bioprocесништву
  - zahteve po aseptičnih pogojih,
  - veliko število analitov, lezenje,
  - pogosto majhen fiziološki pomen meritev



# MEŠANJE



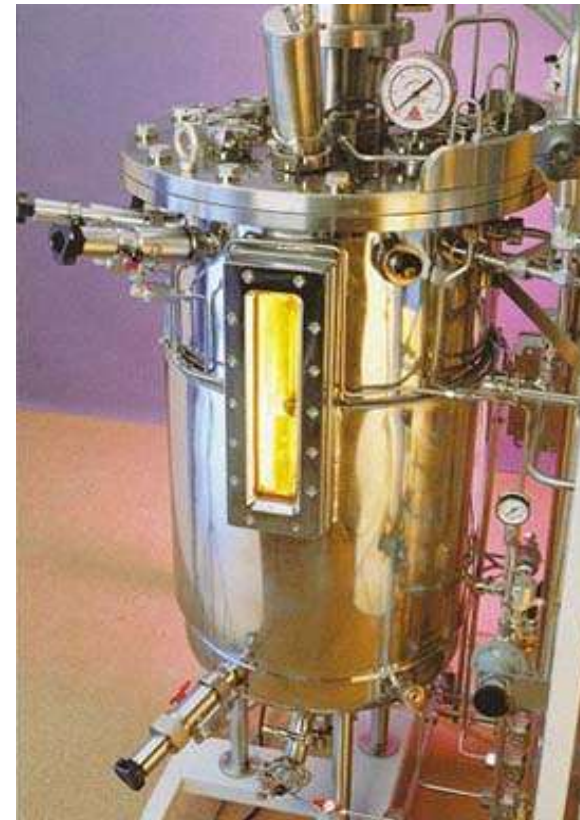
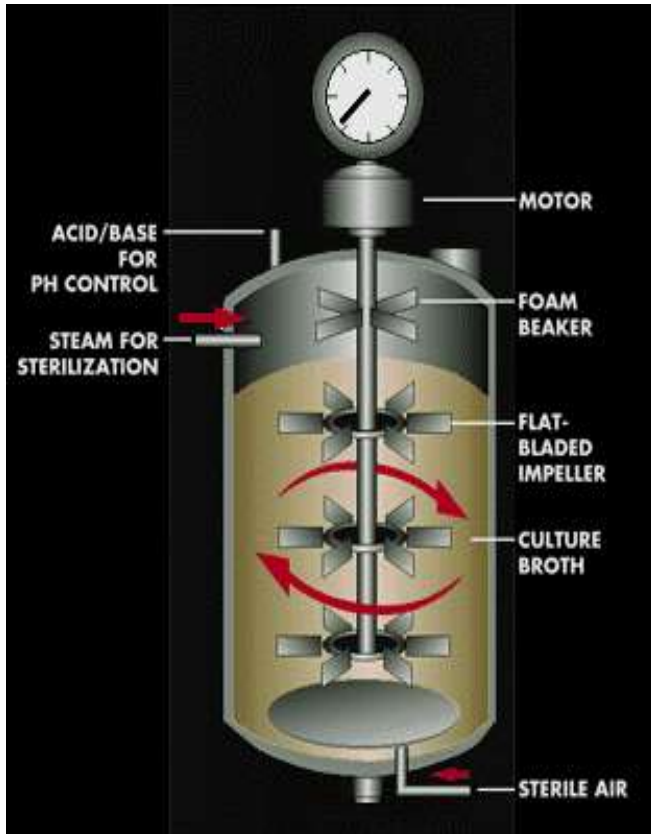
Hidrodinamska operacija:

- doseganje enotne sestave in temperature medija
- pospešitev prenosa hrani in metabolnih produktov
- hitrejši prenos toplote
- suspendiranje trdnih delcev
- dispergiranje tekočine v tekočini (dodatki protipenilca)

ter pri aerobnih procesih:

- dispergiranje plinske faze v tekočini
- pospešitev prenosa kisika iz mehurčkov v tekočino

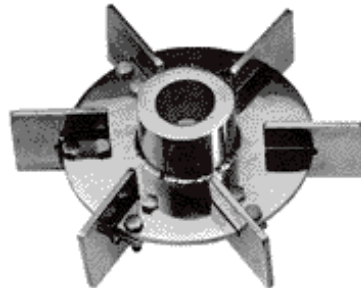
# MEŠALNI BIOREAKTOR



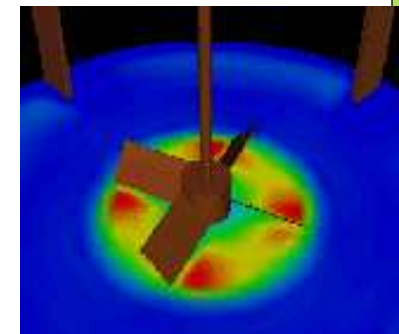
# MEŠALA

- diskaste turbine (visoke strižne sile)

Rushtonova turbina



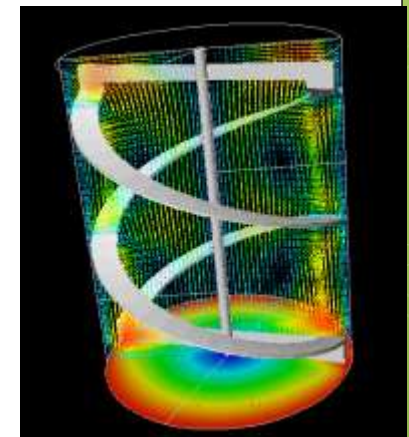
turbina z nagnjenimi lopaticami



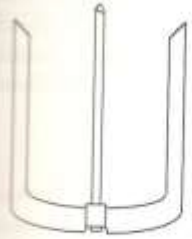
- propeler



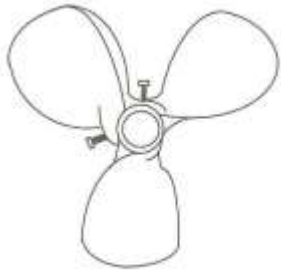
vijačno mešalo



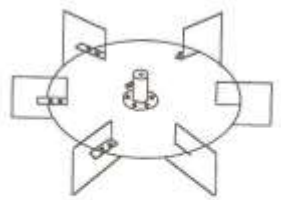
# MEŠALA



sidrasto mešalo



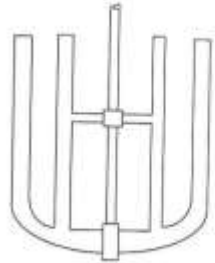
propeler



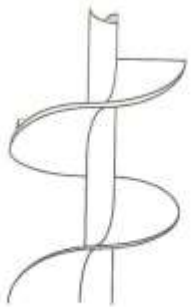
turbina s 6 lopaticami



veslasto mešalo

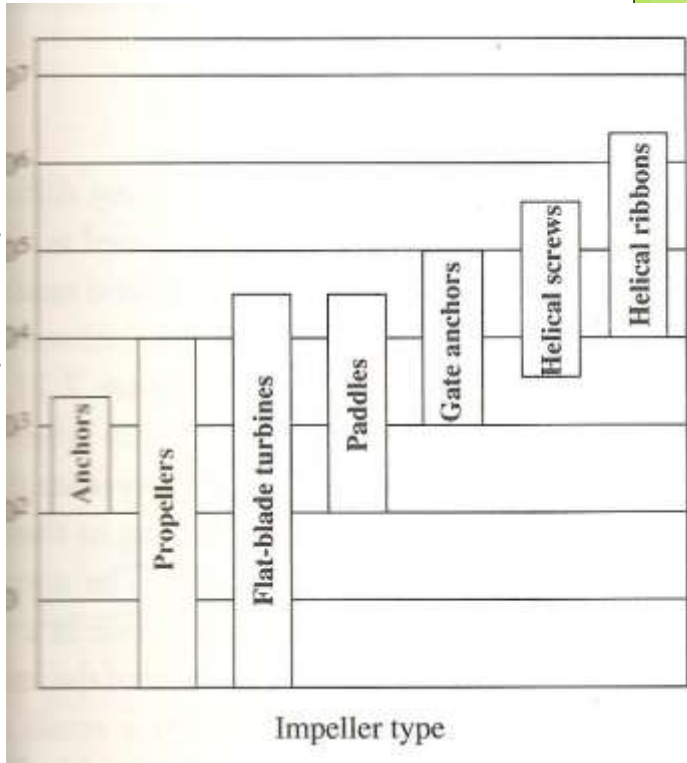


sidrasto mešalo z zaporo

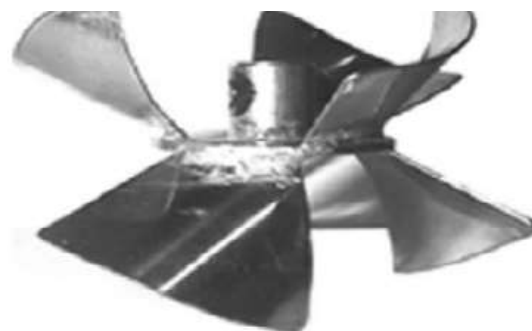
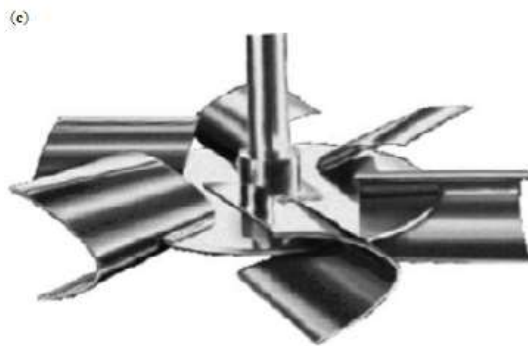
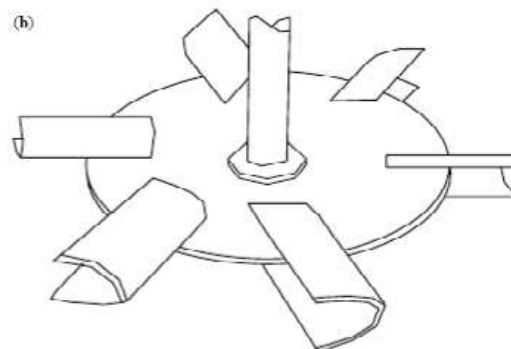
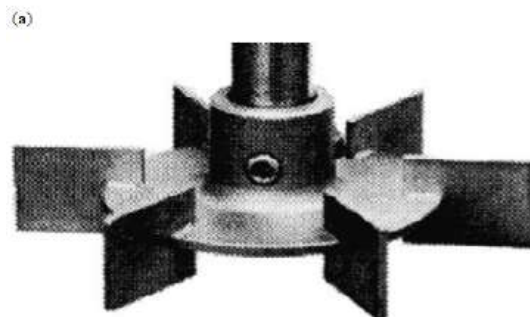


vijačno mešalo

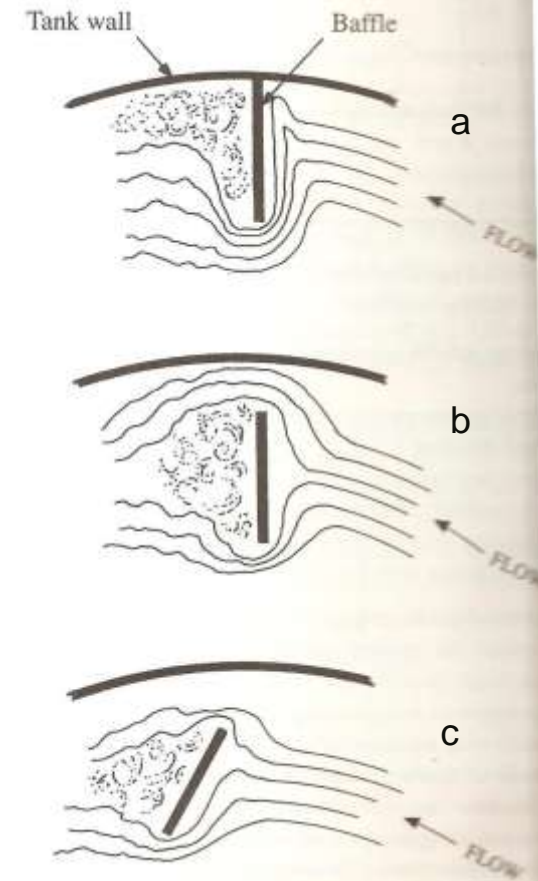
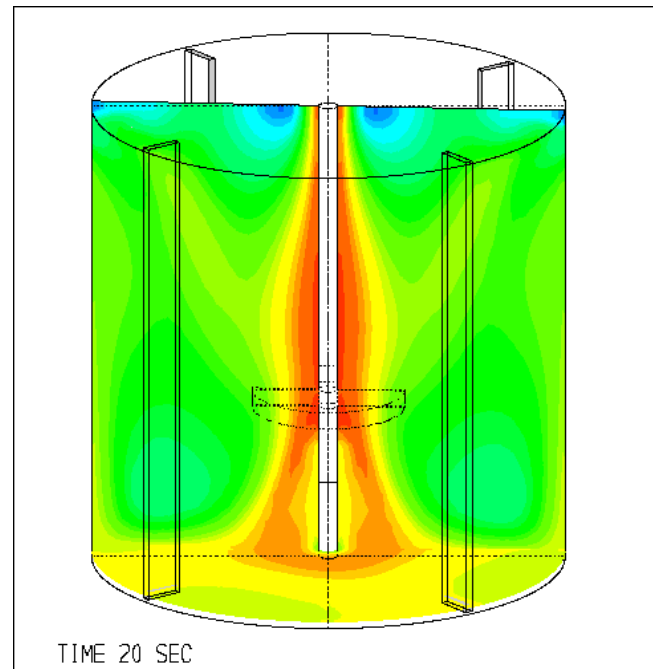
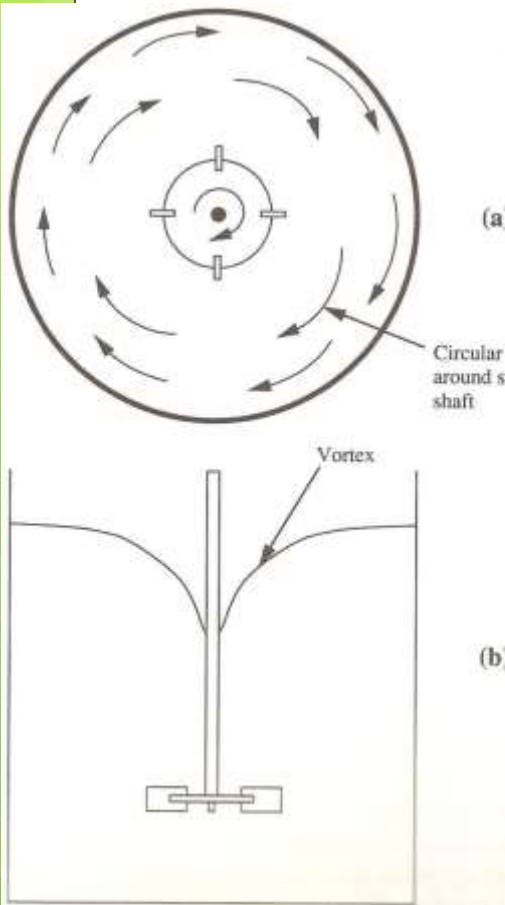
Viskoznost (mPas)



# Mešala – radialni tok



# PREGRADE

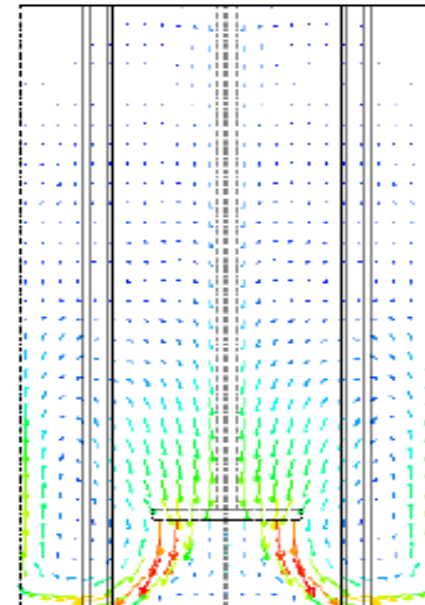
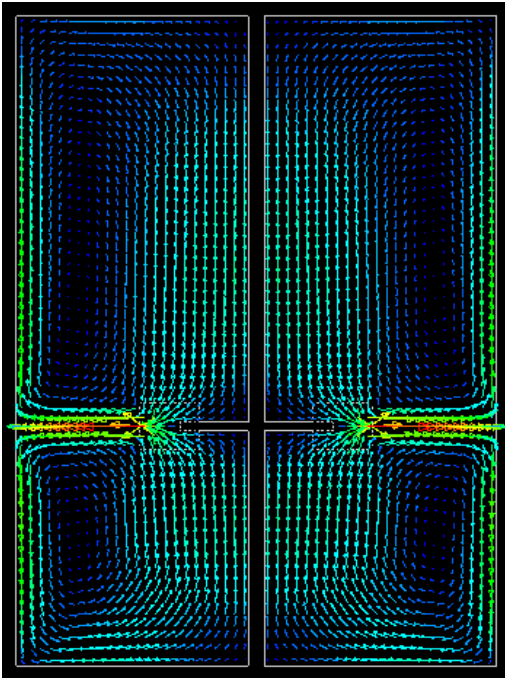


preprečujejo tvorbo lijaka

Figure 7.14 Baffle arrangements. (a) Baffles attached to wall for low-viscosity liquids. (b) Baffles set away from wall for moderate-viscosity liquids. (c) Baffles set away from the wall and at an angle for high-viscosity liquids. (E. Holland and F.S. Chapman, 1966, *Liquid Mixing and Processing in Stirred Tanks*, Reinhold, New York.)

# TOKOVNI PROFILI

- radialni tok kapljevine
- Rushtonova turbina
- aksialni tok kapljevine
- propeler



# NAČRTOVANJE MEŠANJA

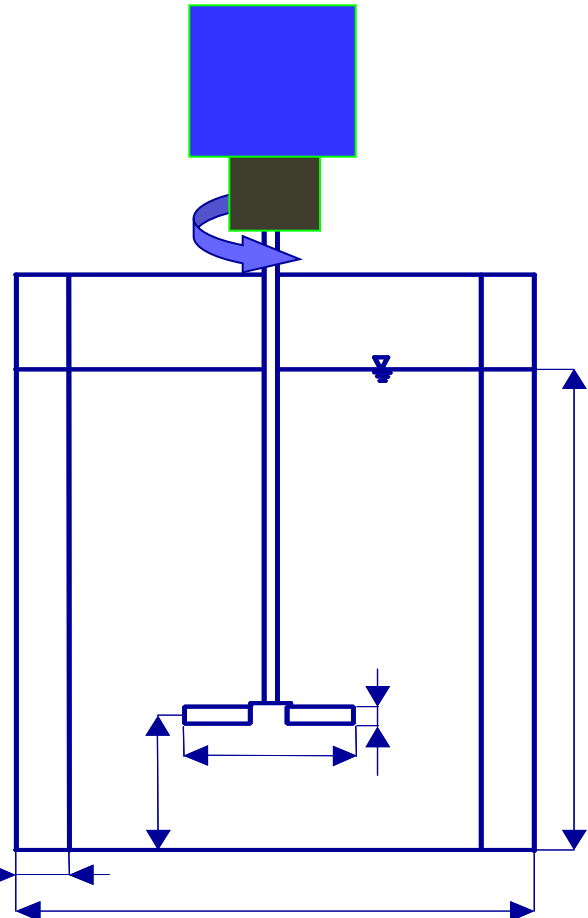
- izbor ustreznega mešala
- pogoji mešanja:
  - majhna poraba energije za učinkovito mešanje

$$E = P \cdot t_m$$

moč za mešanje

čas pomešanja

# Mešanje



- Glede na agregatna stanja
- S stališča moči
- Časov pomešanja
- Tokovni modeli

Mehansko mešanje:

Zunanja sila premaguje napetosti v sami kapljevini

$$P = M \cdot \omega = (F \cdot R) \cdot (2 \cdot \pi \cdot N)$$

P: moč (W)

M: navor ( $\text{kgm}^2/\text{s}^2 = \text{Nm}$ )

$\omega$ : kotna hitrost ( $\text{s}^{-1}$ )

N: vrtilna hitrost mešala ( $\text{s}^{-1}$ )

F: sila (N)

R: ročica (m)

# VNOS MOČI V BIOREAKTORJIH Z MEŠALOM

- neprezračevan sistem:

$$P = P_0 \rho N^3 D^5$$

ŠTEVILO MOČI:  $P_0 = f (Re, Fr, We)$

pregrade, enofazni sistem:  $P_0 = f (Re)$

gravitacijske sile

površinske  
sile

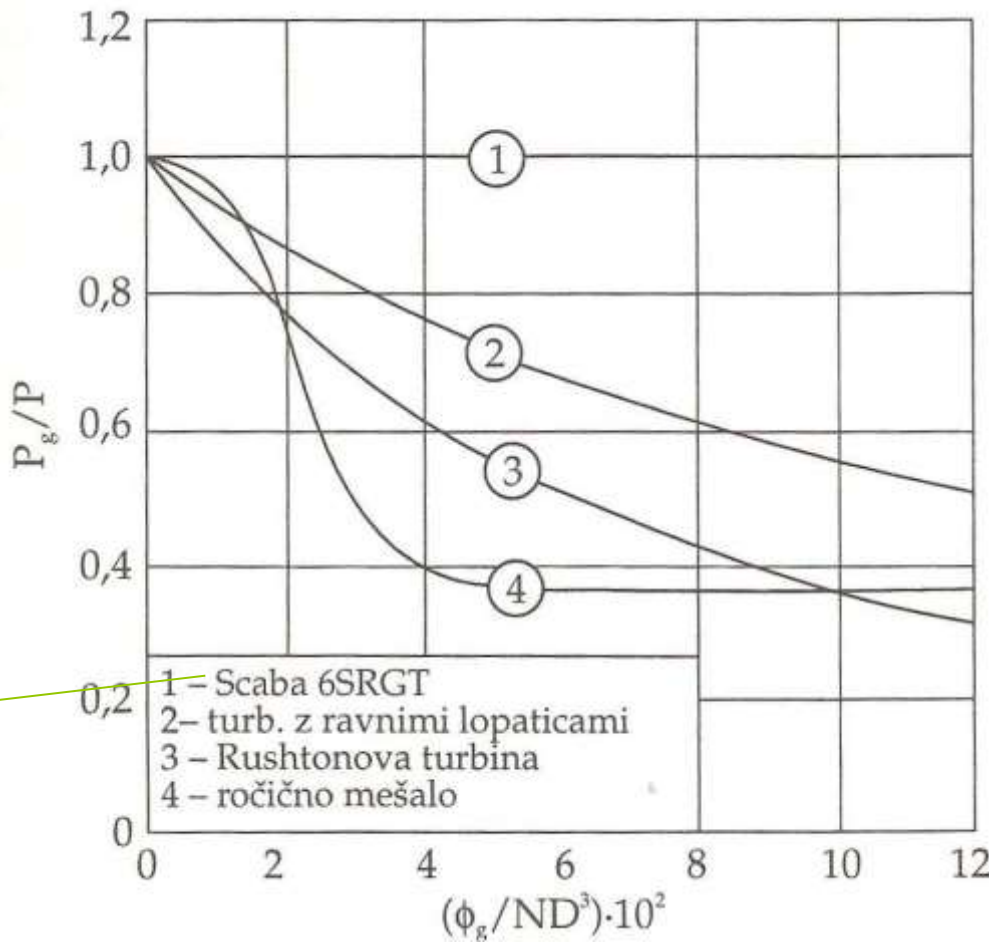
# VNOS MOČI V BIOREAKTORJIH Z MEŠALOM

- Prezračevan sistem

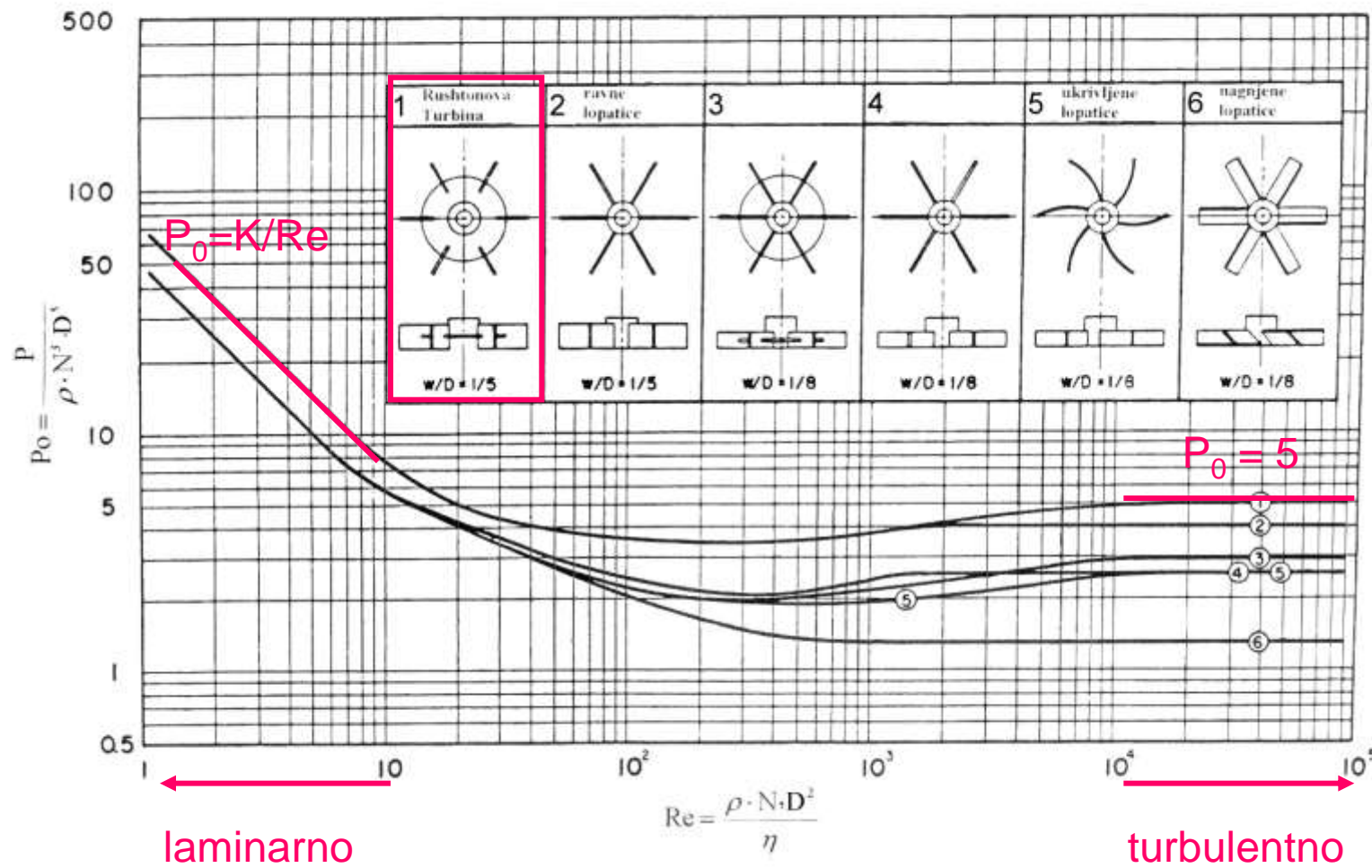
$$P_g = K \left( \frac{P^2 N D^5}{\phi_g^{0.56}} \right)^{0.45}$$



SpringerImages



# FUNKCIJA MOČI $P_o = f(Re)$



# ČAS POMEŠANJA $t_m$

- čas, ki je potreben, da dosežemo določeno stopnjo homogenosti
- odvisen od naših zahtev pomešanja in od natančnosti določitve homogenosti medija
- lokalna nehomogenost:

$$i = \left| \frac{C_\infty - C(t)}{C_\infty - C_0} \right|$$

$t = 0$ : največja nehomogenost,  $i = 1$   
 $t = \odot$ : doseženo ravnotežje,  $i = 0$

Čase pomešanja običajno določimo pri 90-99% homogenosti  
( $0,1 \Leftrightarrow i \Leftrightarrow 0,01$ )

# ČAS POMEŠANJA $t_m$

- odvisen od velikosti in geometrije sistema,  
intenzivnosti mešanja in lastnosti brozge

$$t_m = f(N, D, \rho, \eta) = f(Re)$$

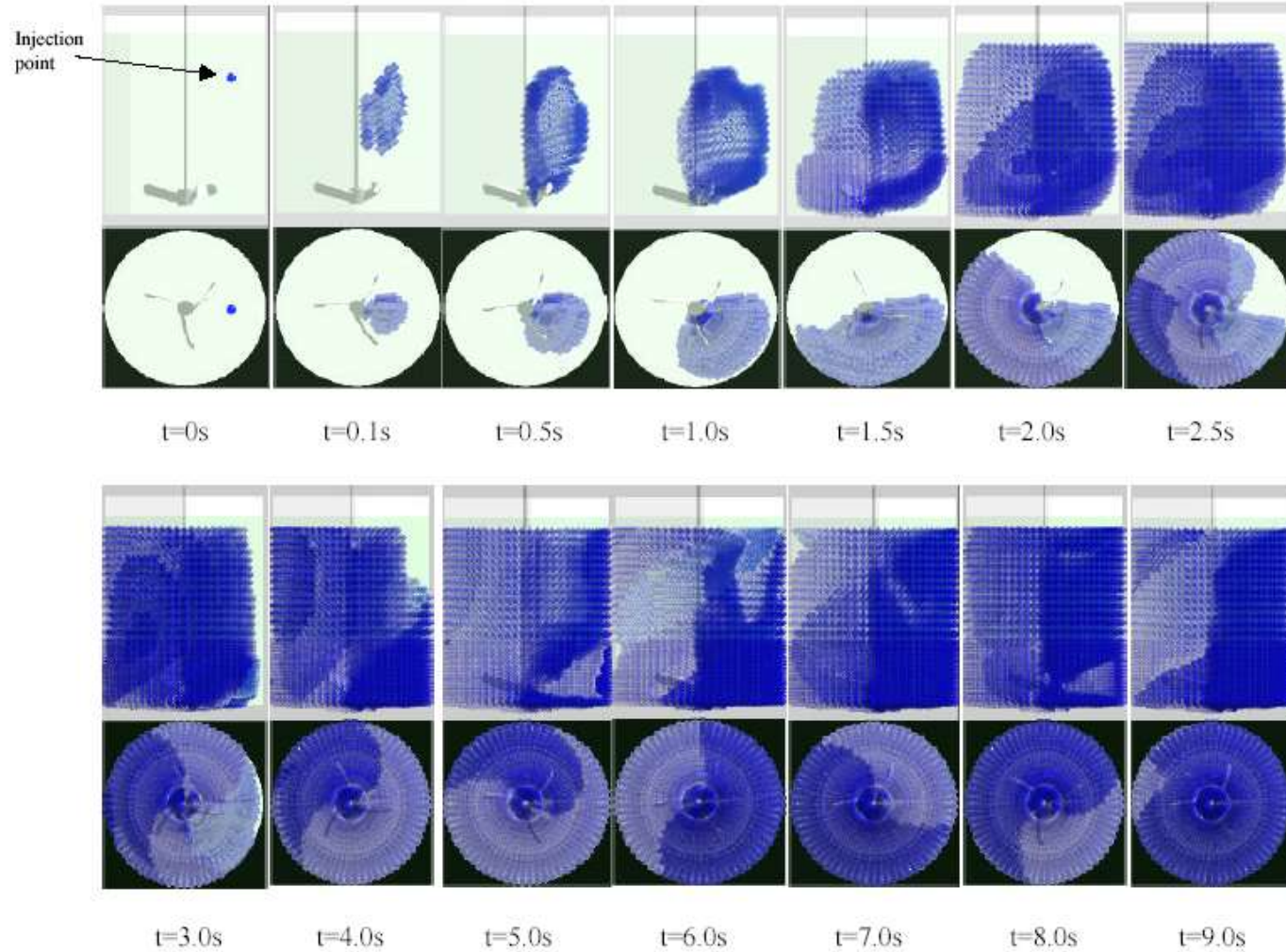
The diagram illustrates the factors influencing the mixing time  $t_m$ . At the top center is the equation  $t_m = f(N, D, \rho, \eta) = f(Re)$ . Four arrows point from the text labels below to the corresponding variables in the equation:

- An arrow points from "vrtilna hitrost [s<sup>-1</sup>]" to the variable  $N$ .
- An arrow points from "premer mešala [m]" to the variable  $D$ .
- An arrow points from "gostota brozge [kg/m<sup>3</sup>]" to the variable  $\rho$ .
- An arrow points from "dinamična viskoznost [Pa s]" to the variable  $\eta$ .

# METODE DOLOČANJA $t_m$

- električna prevodnost
- pH
- temperatura
- fluorescenca
- magnetne lastnosti
- radioaktivnost
- obarvanje ali razbarvanje tekočine  
(omogoča vizualizacijo mirujočih con)

# DOLOČANJE $t_m$

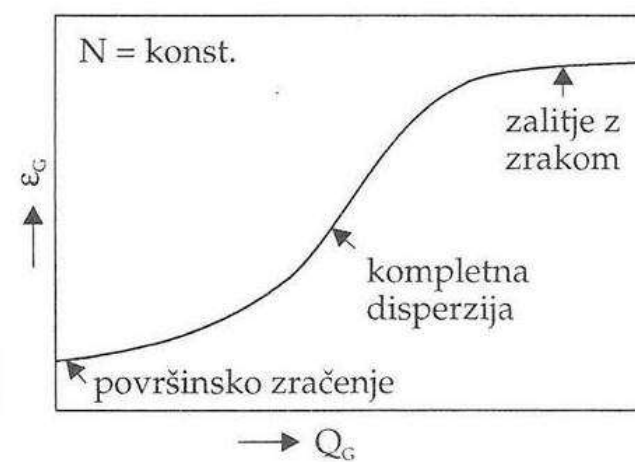
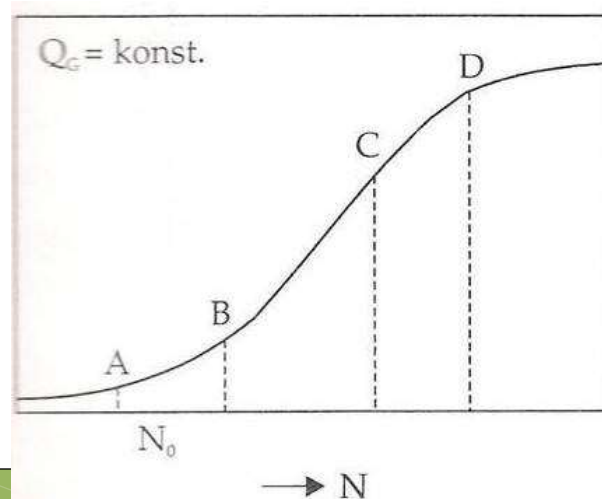
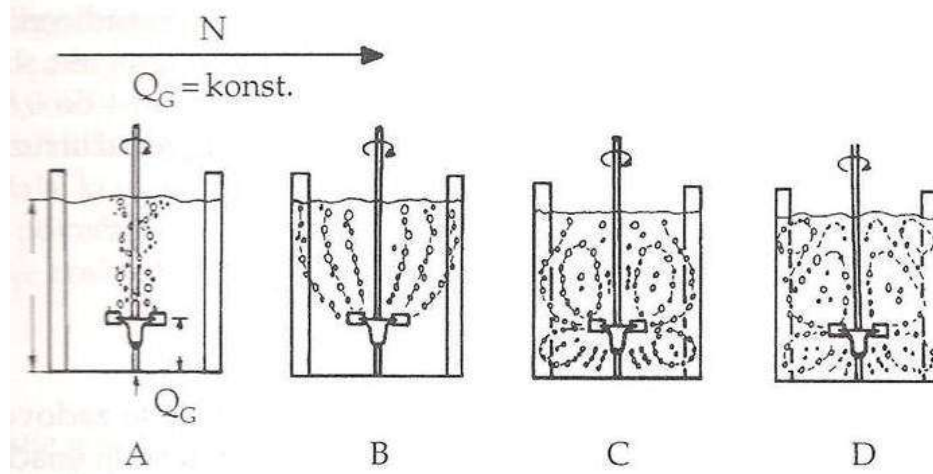


# Zračenje v mešalnem reaktorju

$N$  ... vrtilna hitrost mešala [ $s^{-1}$ ]

$Q_G$  ... pretok zraka [ $m^3/s$ ]

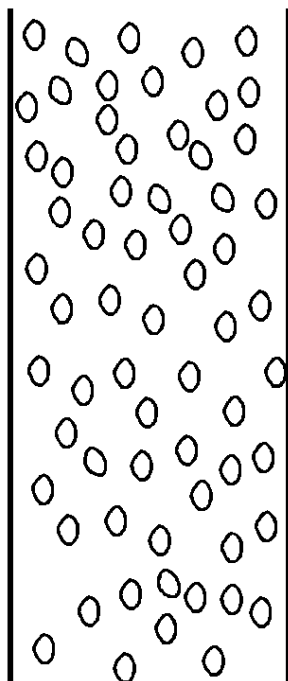
$\varepsilon_G$  ... delež zraka



# STOLPNI REAKTOR

HOMOGENI REŽIM

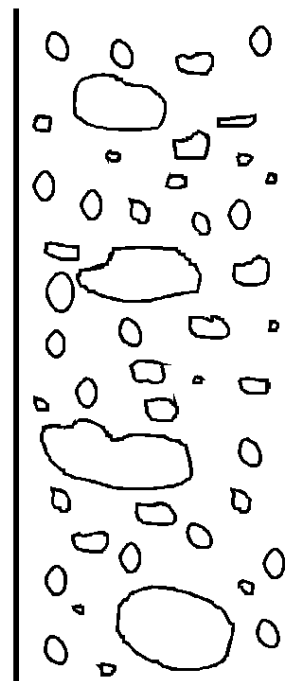
mehurčkasti tok



HETEROGENI REŽIM

mešani tok

mehurjasti tok



tokovni režimi v stolpnem reaktorju

# Sproščanje toplote pri reakcijah

Pri reakciji sproščena ali absorbirana toplota je enaka razliki entalpij reaktantov in produktov:

$$\Delta H_r = \sum_{\text{produkti}} Mh - \sum_{\text{reaktanti}} Mh$$

*M ... masa (kg)*

*h ... specifična entalpija (J/kg)*

**Toplota zgorevanja:**  $\Delta h_c$  (J/kg) ali (J/mol)

**Standardna toplota zgorevanja** (pri 25°C, 1 atm):  $\Delta h_c^\circ$  (J/kg) ali (J/mol)

Dogovor:  $\Delta h_c^\circ = 0$  za produkte oksidacij, kot so CO<sub>2</sub> (g), N<sub>2</sub>, H<sub>2</sub>O (l), za ostale produkte je vselej  $\Delta h_c^\circ < 0$

**Standardna toplota reakcije:**

$$\Delta H_r^\circ = \sum_{\text{reaktanti}} n\Delta h_c^\circ - \sum_{\text{produkti}} n\Delta h_c^\circ$$

| TABLE C.8 Heats of Combustion (Continued) |   |                  |       |  |  | Fumaric acid       | C <sub>4</sub> H <sub>4</sub> O <sub>4</sub>                         | 116.073 | c | -1334.0   |
|---|---|------------------|-------|--|--|--------------------|--|---------|---|-----------|
| Compound                                  | Formula   | Molecular weight | State | Heat of combustion<br>Δh <sub>c</sub> <sup>°</sup> (kJ g <sup>-1</sup> mol <sup>-1</sup> ) |  | Galactose (D-)     | C <sub>6</sub> H <sub>12</sub> O <sub>6</sub>                        |         | s | -2805.7   |
| Alanine (L-)                              | C <sub>3</sub> H <sub>7</sub> O <sub>2</sub> N                    | 89.094           | c     | -1576.9  |  | Glucose (D-)       | C <sub>6</sub> H <sub>12</sub> O <sub>6</sub>                        |         | s | -2805.0   |
|   |   |                  | g     | -1715.0  |  | Glutamic acid (L-) | C <sub>5</sub> H <sub>9</sub> O <sub>4</sub> N                       | 147.131 | c | -2244.1   |
| Ammonia                                   | NH <sub>3</sub>   | 17.03            | g     | -382.6   |  | Glutamine (L-)     | C <sub>5</sub> H <sub>10</sub> O <sub>3</sub> N <sub>2</sub>         | 146.146 | c | -2570.3   |
| Ammonium ion                              | NH <sub>4</sub> <sup>+</sup>                                      |                  |       | -383   |  | Glutaric acid      | C <sub>5</sub> H <sub>8</sub> O <sub>4</sub>                         | 132.116 | c | -2150.9   |
| Arginine (D-)                             | C <sub>6</sub> H <sub>14</sub> O <sub>2</sub> N <sub>4</sub>      | 174.203          | c     | -3738.4  |  | Glycerol           | C <sub>3</sub> H <sub>8</sub> O <sub>3</sub>                         | 92.095  | l | -1655.4   |
| Asparagine (L-)                           | C <sub>4</sub> H <sub>8</sub> O <sub>3</sub> N <sub>2</sub>       | 132.119          | c     | -1928.0  |  | Glycine            | C <sub>2</sub> H <sub>5</sub> O <sub>2</sub> N                       | 75.067  | g | -1741.2   |
| Aspartic acid (L-)                        | C <sub>4</sub> H <sub>7</sub> O <sub>4</sub> N                    | 133.104          | c     | -1601.1  |  | Glycogen           | (C <sub>6</sub> H <sub>10</sub> O <sub>5</sub> ) <sub>x</sub> per kg |         | c | -973.1    |
| Benzaldehyde                              | C <sub>7</sub> H <sub>6</sub> O                                   | 106.124          | l     | -3525.1  |  | Guanine            | C <sub>5</sub> H <sub>5</sub> ON <sub>5</sub>                        | 151.128 | s | -2498.2   |
| Butanoic acid                             | C <sub>4</sub> H <sub>8</sub> O <sub>2</sub>                      | 88.106           | l     | -2183.6  |  | Hexadecane         | C <sub>16</sub> H <sub>34</sub>                                      | 226.446 | l | -10,699.2 |
|   |   |                  | g     | -2241.6  |  |                    |  |         | g | -10,780.5 |
| 1-Butanol                                 | C <sub>4</sub> H <sub>10</sub> O                                  | 74.123           | l     | -2675.9  |  | Hexadecanoic acid  | C <sub>16</sub> H <sub>32</sub> O <sub>2</sub>                       | 256.429 | c | -9977.9   |
|   |   |                  | g     | -2728.2  |  |                    |  |         | l | -10,031.3 |
| 2-Butanol                                 | C <sub>4</sub> H <sub>10</sub> O                                  | 74.123           | l     | -2660.6  |  | Histidine (L-)     | C <sub>6</sub> H <sub>9</sub> O <sub>2</sub> N <sub>3</sub>          | 155.157 | s | -10,132.3 |
|   |   |                  | g     | -2710.3  |  |                    |  |         | g | -3180.6   |
| Butyric acid                              | C <sub>4</sub> H <sub>8</sub> O <sub>2</sub>                      | 88.106           | l     | -2183.6  |  | Hydrogen           | H <sub>2</sub>   | 2.016   | g | -285.8    |
|   |   |                  | g     | -2241.6  |  | Hydrogen sulphide  | H <sub>2</sub> S   | 34.08   |   | -562.6    |
| Caffeine                                  | C <sub>8</sub> H <sub>10</sub> O <sub>2</sub> N <sub>4</sub>      |                  | s     | -4246.5*   |  | Inositol           | C <sub>6</sub> H <sub>12</sub> O <sub>6</sub>                        |         | s | -2772.2*  |
| Carbon                                    | C   | 12.011           | c     | -393.5   |  | Isoleucine (L-)    | C <sub>6</sub> H <sub>13</sub> O <sub>2</sub> N                      | 131.175 | c | -3581.1   |
| Carbon monoxide                           | CO  | 28.010           | g     | -283.0   |  | Isoquinoline       | C <sub>9</sub> H <sub>7</sub> N                                      | 129.161 | l | -4686.5   |
| Citric acid                               | C <sub>6</sub> H <sub>8</sub> O <sub>7</sub>                      |                  | s     | -1962.0  |  | Lactic acid (D,L-) | C <sub>3</sub> H <sub>6</sub> O <sub>3</sub>                         |         | l | -1368.3   |
| Codeine                                   | C <sub>18</sub> H <sub>21</sub> O <sub>3</sub> N·H <sub>2</sub> O |                  | s     | -9745.7*   |  | Lactose            | C <sub>12</sub> H <sub>22</sub> O <sub>11</sub>                      |         | s | -5652.5   |
| Cytosine                                  | C <sub>4</sub> H <sub>5</sub> ON <sub>3</sub>                     | 111.103          | c     | -2067.3  |  | Leucine (D-)       | C <sub>6</sub> H <sub>13</sub> O <sub>2</sub> N                      | 131.175 | c | -3581.7   |
| Ethane                                    | C <sub>2</sub> H <sub>6</sub>                                     | 30.070           | g     | -1560.7  |  | Leucine (L-)       | C <sub>6</sub> H <sub>13</sub> O <sub>2</sub> N                      | 131.175 | c | -3581.6   |
| Ethanol                                   | C <sub>2</sub> H <sub>6</sub> O                                   | 46.069           | l     | -1366.8  |  | Lysine             | C <sub>6</sub> H <sub>14</sub> O <sub>2</sub> N <sub>2</sub>         | 146.189 | c | -3683.2   |
|   |   |                  | g     | -1409.4  |  |                    |  |         |   |           |
| Ethylene                                  | C <sub>2</sub> H <sub>4</sub>                                     | 28.054           | g     | -1411.2  |  | Malic acid (L-)    | C <sub>4</sub> H <sub>6</sub> O <sub>5</sub>                         |         | s | -1328.8   |
| Ethylene glycol                           | C <sub>2</sub> H <sub>6</sub> O <sub>2</sub>                      | 62.068           | l     | -1189.2  |  | Malonic acid       | C <sub>3</sub> H <sub>4</sub> O <sub>4</sub>                         |         | s | -861.8    |
|   |   |                  | g     | -1257.0  |  | Maltose            | C <sub>12</sub> H <sub>22</sub> O <sub>11</sub>                      |         | s | -5649.5   |
| Formaldehyde                              | CH <sub>2</sub> O   | 30.026           | g     | -570.7   |  | Mannitol (D-)      | C <sub>6</sub> H <sub>14</sub> O <sub>6</sub>                        |         | s | -3046.5*  |
| Formic acid                               | CH <sub>2</sub> O <sub>2</sub>                                    | 46.026           | l     | -254.6   |  | Methane            | CH <sub>4</sub>  | 16.043  | g | -890.8    |
|   |   |                  | g     | -300.7   |  | Methanol           | CH <sub>4</sub> O  | 32.042  | l | -726.1    |
| Fructose (D-)                             | C <sub>6</sub> H <sub>12</sub> O <sub>6</sub>                     |                  | s     | -2813.7  |  |                    |  |         | g | -763.7    |

# Naloga

- Izračunajte standardno energijo reakcije za tvorbo fumarne kisline iz jabolčne kisline.
- Reakcija:

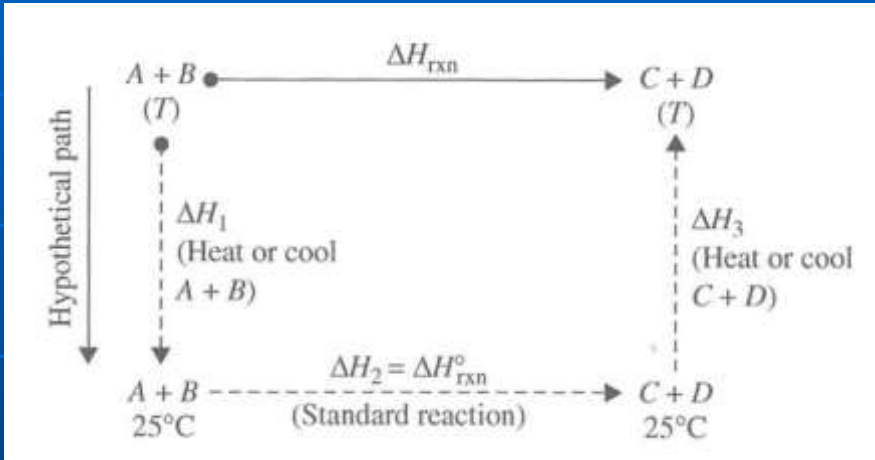


Odgovor:  $\Delta H_r^\circ = 5,2 \text{ kJ}$

Toplota se absorbira – reakcija je endotermna.

# Toplota reakcije pri nestandardnih pogojih

- reakcija



- Primer:  $\text{C}_6\text{H}_{12}\text{O}_6 + 6 \text{ O}_2 \longrightarrow 6 \text{ CO}_2 + 6 \text{ H}_2\text{O}$

$$\Delta H_r(\text{pri } 37^\circ\text{C}) = -2801,7 \text{ kJ}$$

$$\Delta H_r^\circ = -2805,0 \text{ kJ}$$

Razliko lahko zanemarimo

# Toplotna reakcija za procese s proizvodnjom biomase

# Termodinamika rasti celic:



Vsebnost energije organskih spojin je sorazmerna njihovi stopnji redukcije:

$$\Delta h_c = -q \cdot \gamma \cdot x_c$$

$\Delta h_{\text{c}}^{\circ}$  ..... molarna toplota zgorevanja pri standardnih pogojih

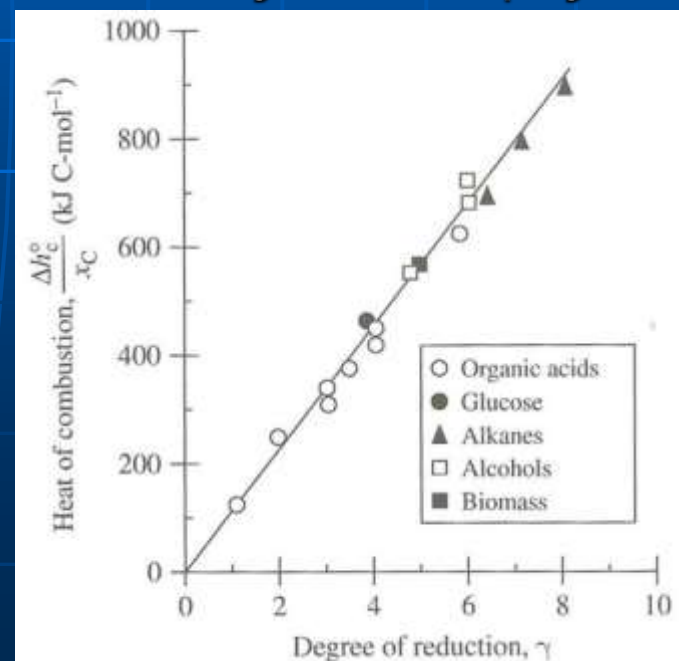
q..... Energija sproščena na mol prostih elektronov

$\gamma$ .....stopnja redukcije spojine glede na N<sub>2</sub>

$x_C$ .....število atomov C v molekuli

Številne kemijske in biokemijske spojine, tudi biomasa:

$$q = 115 \text{ kJ/mol}$$



# Toplota reakcije s kisikom kot akceptorjem e<sup>-</sup>

Ker je stopnja redukcije neposredno povezana s količino kisika, potrebnega za popolno zgorenje, sta tudi  $\Delta h_c^\circ$  in  $\Delta H_r$  sorazmerna porabi O<sub>2</sub>.

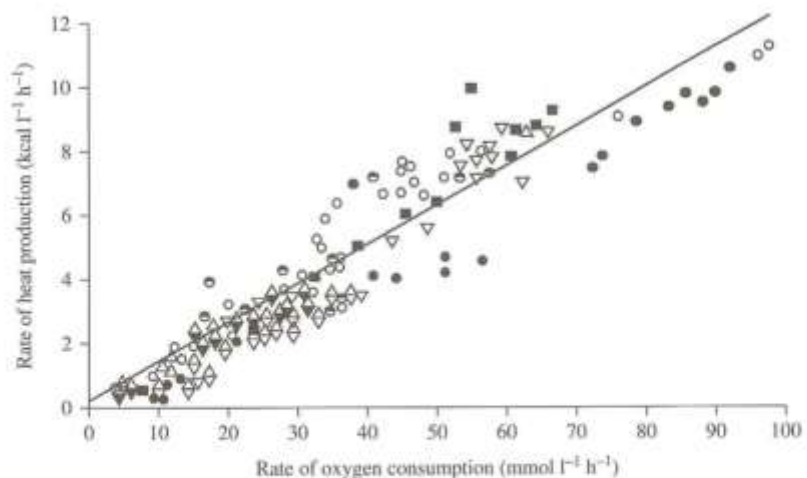


FIGURE 5.8 Correlation between rate of heat evolution and rate of oxygen consumption for a variety of microbial fermentations. (○) *Escherichia coli*, glucose medium; (◊) *Candida intermedia*, glucose medium; (△) *C. intermedia*, molasses medium; (▽) *Bacillus subtilis*, glucose medium; (■) *B. subtilis*, molasses medium; (◎) *A. niger*, soybean meal medium; (◇) *Aspergillus niger*, glucose medium; (●) *A. niger*, molasses medium.  
C.L. Cooney, D.J.C. Wang, and R.I. Mateles, Measurement of heat evolution and correlation with oxygen consumption during microbial growth, Biotechnol. Bioeng. 11, 269–281; Copyright © 1968. Reprinted by permission of John Wiley.

$$\Delta H_r \approx -460 \text{ kJ/mol O}_2$$

Če je vsa toplota na račun rasti, potem je:  $\dot{Q} = -\Delta H_r$   
 $\dot{Q} = (460 \text{ kJ/mol}) \cdot r_{O_2} \cdot V$   
 $U \cdot A \cdot \Delta T = (460 \text{ kJ/mol}) q_{O_2} \cdot X \cdot V$

Če je  $\Delta T$  max, potem:

$$X_{max} = \frac{U A (T_F - T_{hv})}{460 \frac{\text{kJ}}{\text{mol}} q_{O_2} V}$$

# Toplotna reakcija z drugimi akceptorji e<sup>-</sup>



Če je vir N NH<sub>3</sub>:

$$\Delta H_r^\circ = (n \Delta h_c^\circ)_{\text{substrat}} + (n \Delta h_c^\circ)_{\text{NH}_3} - (n \Delta h_c^\circ)_{\text{biomasa}} - (n \Delta h_c^\circ)_{\text{produkt}}$$

TABLE 5.1 Heats of Combustion of Bacteria and Yeast

| Organism                            | Substrate | $\Delta h_c$ (kJ g <sup>-1</sup> ) |
|-------------------------------------|-----------|------------------------------------|
| <b>BACTERIA</b>                     |           |                                    |
| <i>Escherichia coli</i>             | glucose   | -23.04 ± 0.06                      |
|                                     | glycerol  | -22.83 ± 0.07                      |
| <i>Enterobacter cloacae</i>         | glucose   | -23.22 ± 0.14                      |
|                                     | glycerol  | -23.39 ± 0.12                      |
| <i>Methylophilus methylotrophus</i> | methanol  | -23.82 ± 0.06                      |
| <i>Bacillus thuringiensis</i>       | glucose   | -22.08 ± 0.03                      |
| <b>YEAST</b>                        |           |                                    |
| <i>Candida lipolytica</i>           | glucose   | -21.34 ± 0.16                      |
| <i>Candida boldinii</i>             | glucose   | -20.14 ± 0.18                      |
|                                     | ethanol   | -20.40 ± 0.14                      |
|                                     | methanol  | -21.52 ± 0.09                      |
| <i>Kluyveromyces fragilis</i>       | lactose   | -21.54 ± 0.07                      |
|                                     | galactose | -21.78 ± 0.10                      |
|                                     | glucose   | -21.66 ± 0.19                      |
|                                     | glucose*  | -21.07 ± 0.07                      |
|                                     |           | -21.30 ± 0.10                      |
|                                     |           | -20.66 ± 0.26                      |
|                                     |           | -21.22 ± 0.14                      |

\*Chomostat rather than batch culture: dilution rates were 0.036 h<sup>-1</sup>, 0.061 h<sup>-1</sup>, 0.158 h<sup>-1</sup>, and 0.227 h<sup>-1</sup>, respectively.

From J.-L. Cardier, B.M. Butsch, B. Birou, and U. von Stockar, 1987, The relationship between elemental composition and heat of combustion of microbial biomass, Appl. Microbiol. Biotechnol. 25: 305–312.

# Naloga

Bioreaktor prostornine  $150 \text{ m}^3$ , kjer proizvajamo biomaso iz glukoze, deluje pri  $35^\circ\text{C}$ . Kultura porablja kisik s hitrostjo  $1,5 \text{ kg/m}^3\text{h}$ ; mešalo oddaja  $1 \text{ kW/m}^3$  energije. Hladilna voda iz bližnje reke, ki ima  $10^\circ\text{C}$ , prehaja skozi notranjo cev v fermentorju s hitrostjo  $60 \text{ m}^3/\text{h}$ . Če sistem deluje v stacionarnem stanju in če ni izparevanja, kakšna je temperatura vode na izstopu?

$$c_p \text{ vode} = 4190 \text{ J/kg K} \quad \text{oz.} \quad 75,4 \text{ J/mol K}$$

$$\rho \text{ vode} = 1000 \text{ kg/m}^3$$

# Scale-up

